

高速道路の合流部における交通錯線と安全評価について

立命館大学理工学部 学生員 ○溝手良市
 立命館大学理工学部 学生員 吉原満哉
 立命館大学理工学部 正員 卷上安爾

1.はじめに 本研究は、交差点やオンランプでの交通事故の潜在性の測定法として開発された交通錯線技術(Traffic conflict)を本線合流部に適用させ、交通流と交通錯線の関係を求めるこことを目的としている。そして、交通錯線と事故との関係の究明を試み、合流部の安全評価として流入制御による交通錯線数の低減を予測している。

本研究が対象とした合流部は、阪神高速道路の守口線と環状線が合流する守口線合流部と空港線と環状線が合流する空港線合流部である。その道路構造は、両合流部とも上流2車線と3車線が合流し下流で4車線になるものであり、解析対象区間は図-1に示すとおりである。なお、本研究を行なうにあたって、昭和56年6月に両合流部で2日にわたって交通実態調査を実施した。

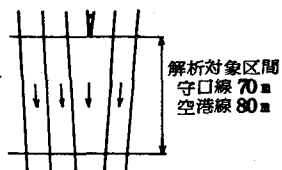


図-1 道路構造の概略

2.本研究における交通錯線の概念と解析方法 交通錯線(以下、錯線と略す)とは、他の車に対して運転車が衝突や接触の危険を感じ、ブレーキ制動や急な車線変更により交通事故を回避する行為である。交差点やオンランプでの錯線の観測では、錯線を形態別に分類し各々の観測規準を設定している。その観測規準には、ブレーキライトの点燈を規準とするものや2車による潜在的事故地点までの到達時間の差を規準にするもの等が挙げられる。

本研究が対象とした本線合流部の錯線の観測では、錯線の形態を図-2に示すように3つに分類し、錯線車を走行速度によって規定した。錯線車を規定する速度をここでは錯線車の限界速度と呼び、 $v-0.75\sigma$, $v-\sigma$ および $v-1.25\sigma$ の3種類設けた。ここで、 v とは観測区間各車線での観測時間帯(3分間)の平均速度で、 σ とは標準偏差である。

観測は、合流部の交通流収録ビデオデータをテレビ画面に再生し、図-2で示した車番号2のような挙動をする車を抽出することから始めた。そして、その車が速度を最大に落とした時点での30m間の走行時間の測定により車速を求め、各々の限界速度以下で走行する車を観測区間の各車線ごとに計測し各時間帯の錯線数を集計した。なお、観測時間帯は、守口線合流部が7:06~30, 9:30~51, 10:03~21の計22時間帯で、空港線合流部が10:15~45の計10時間帯であった。

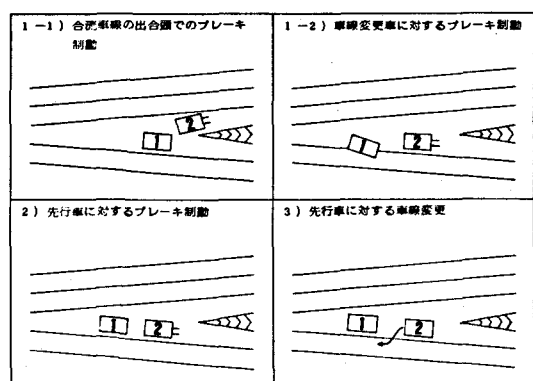


図-2 本線合流部のコンフリクト形態

次に、交通流と錯線数を関係づける回帰式を3種類以下に示す。

i) 車がり台存在するある区間で、ある車に影響される車の発生パターン数は $2^n - 1 \div 2$

である。これより、パターン数が錯線数に、また、 x が交通量もしくは密度に比例すると仮定し次式を導く。 $N = a_1 e^{b_1 x}$

ii) 車が n 台存在するある区間で、車両相互事故を起こす可能性のある車の発生パターン数 $2^n - n - 1 \approx 2^n - n$ より、同様にして次式を求める。 $N = a_2 e^{b_2 x} - c_1 x$

iii) 車が n 台存在するある区間で、任意の2台が事故を起こす可能性の数 $\frac{1}{2}n(n-1)$ より、同様にして次式を求める。 $N = a_3 x^2 - b_3 x$

ここで、 N は錯線数、 x は交通量もしくは密度、 a_1, b_1, c_1 は定数。

上記の回帰式に各々の限界速度ごとに集計されたデータを回帰させ、その相関性の最も良いものを錯線の限界速度かよび関係式として決定した。

3. 解析結果 本研究で最適と考えられる限界速度と回帰式を示す。
限界速度； $v = 0$

$$\text{回帰式;} \begin{cases} \text{守口総合流部;} N = 0.000127e^{0.00154Q} \text{ または } N = 0.191e^{0.098K} \\ \text{港堀総合流部;} N = 0.00214e^{0.00137Q} \text{ または } N = 0.303e^{0.109K} \end{cases}$$

ここで、 N は3分間の錯線発生数、 Q は3分間に合流部に流入した交通量を時間当たりに換算した値、 K は合流部の3分間平均密度である。なお、相関係数は全て 0.93 以上である。表-1 車両相互事故の平均事故率とコンフリクトの関係

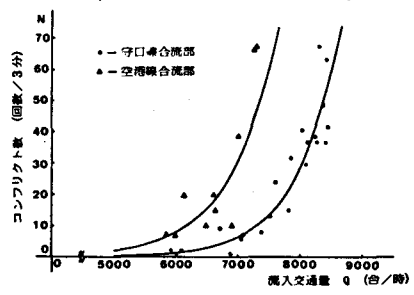


図-3 流入交通量とコンフリクト数の関係
表-1 車両相互事故の平均事故率とコンフリクトの関係

4. 交通錯線と事故 昭和51～55年の平均交通量から AM7～PM7 の両合流部で発生する錯線数を回帰式より求めたものと、同期間で算出された車両相互事故の平均事故率を表-1に示す。これより、錯線数に対する事故率の比率がほぼ同じであることがわかり、交通錯線技術が本線合流部に適用されると推論された。

5. 合流部の安全評価からみた制御効果 両合流部において、各々の直近上流オランプで流入調整あるいは規制を想定した場合の流入交通量の低減により錯線数の低減率の推測を試みた。守口総合流部 9:30～51 の錯線数の低減率は、1/5 制御で 12%，1/2 制御で 28%，全て制御で 48% と試算され、空港総合流部 9:18～48 では、8%，19%，32% と試算された。本研究の段階では、本線合流部の交通錯線と事故率との相関が実明されていないが、これが直接結びつけられるなら事故率は上記の値で低減すると推測される。

図-4 に昭和51～55年の車両相互事故における AM7～PM7 の平均時間別交通量と平均事故率の関係を両合流部について示す。これより、交通量 6500 台/時を境にして傾向が違なることがわかる。上記で推測された事故率の低減は、この図の 6500 台/時以上の交通量と事故率の関係に相当すると思われる。最後に、今後多くの実測を重ねて、このような安全評価手法の妥当性を確かめる必要があると考える。

	守口 部	空港 部
事故率	60.6	169.0
コンフリクト数	2154 回	6344 回
コンフリクト1 回当たりの事故率	0.028	0.027

単位：(件/毎日キロ)
守口総合流部

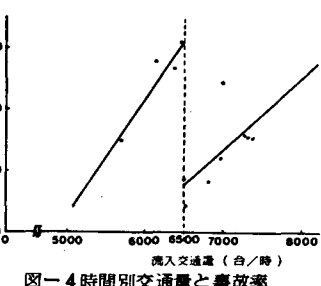
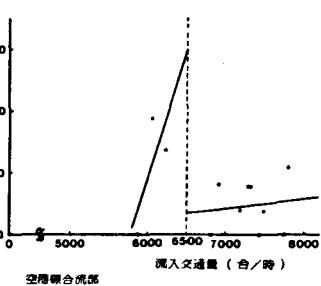


図-4 時間別交通量と事故率